

منشأ کنگلومراهای آهکی در رمپ کربناته سازند ده- صوفیان از گروه میلا، البرز مرکزی، شمال ایران

نارام بایت گل^{۱*}، رضا موسوی حرمی^۲ و اسدالله محبوی^۲

^۱دکترا، دانشکده علوم زمین، دانشگاه تحصیلات تکمیلی علوم پایه، زنجان، ایران

^۲استاد، گروه زمین‌شناسی، دانشکده علوم، دانشگاه فردوسی مشهد، مشهد، ایران

تاریخ پذیرش: ۱۳۹۴/۰۴/۲۳

تاریخ دریافت: ۱۳۹۴/۰۹/۱۷

چکیده

نهشته‌های کربناته عضو ۱ و ۲ گروه میلا در البرز مرکزی (کامبرین میانی) که در این پژوهش سازند ده- صوفیان نامیده می‌شود در برخشهای شهمیرزاد، توبه دروار، میلاکوه و ده‌ملا مطالعه شده است. واحد ۲ سازند ده- صوفیان در البرز مرکزی از شمال ایران شامل کربنات‌های دریابی کم ژرفایی است که به وسیله انواع مختلف کنگلومراهای آهکی توصیف می‌شود. کنگلومراهای آهکی یکی از تشکیل‌دهنده‌های اصلی واحد ۲ سازند ده- صوفیان است، ولی منشأ آن تا به حال مورد بررسی قرار نگرفته است. کنگلومراهای آهکی یک مجموعه ویژگی‌ها و متغیرهایی دارند که از کنگلومراهای قطعه فراوان تا زمینه سنتگ توصیف می‌شوند. این کنگلومراها بیشتر الیگومکتیک هستند و به طور چیره از قطعات گل آهکی در اندازه و شکل‌های متغیر (هم‌بعد، بیضوی، دیسکی، تابولار و نامنظم) تشکیل شده‌اند. بر طبق ترکیب، ویژگی‌های ساختارهای روسوی همرا و فابریک، کنگلومراهای آهکی در واحد ۲ سازند ده- صوفیان شامل دو گروه اصلی است؛ ۱) کنگلومراهای آهکی درون سازندی حاصل از فرایندهای روسوی؛ ۲) طبقات کنگلومراهای آهکی دروغین حاصل از فرایندهای دیاژنزی. ویژگی‌های کلی کنگلومراهای آهکی دروغین سازند ده- صوفیان همچون ترکیب الیگومکتیک از قطعات گل آهکی، فابریک موزاییکی، فابریک جنبی و نامنظم، فابریک تدریجی و متغیر، تغییرات تدریجی با رخسارهای مجاور و زیرین و نبود ساختارهای روسوی همرا، سبب می‌شود که کنگلومراهای آهکی دروغین را به تغییر شکل رسوب در طول فرایندهای دیاژنسی اولیه تحت شرایط تدفین کم ژرف‌سنتگ تبدیل کنند. این ویژگی‌های متمایز از کنگلومراهای آهکی درون سازندی حاصل از فرایندهای روسوی است. کنگلومراهای آهکی درون سازندی به وسیله وجود ساختارهای روسوی اولیه، همانند دانه‌بندی تدریجی عادی تا وارون، چینه‌بندی داخلی، چینه‌بندی مورب هموکی و وجود قاعده شارپ و فرسایشی مشخص می‌شوند. کنگلومراهای دیاژنسی در واحد آهک‌های نواری حاصل تغییر شکل نرم آهک‌های نواری در طول دیاژنسی اولیه است. در برابر آن در کنگلومراهای روسوی وجود شواهدی از ابعاد، ستبراء، اندازه قطعات، طبقات غنی از قطعه، نوع ماتریکس و تمایل به تشکیل واحدهای برهم‌افزاینده با سطوح فرسایشی مختلف در میان آنها نشان‌دهنده تأثیر شرایط پرانژی و فرسایش مداوم در بخش بالایی موجسار هوای توفانی روی خردشدن مواد آهکی و تشکیل کنگلومراهای روسوی است.

کلیدواژه‌ها: سازند ده- صوفیان، کنگلومراهای دروغین، روسوی، دیاژنسی، منشأ.

*نویسنده مسئول: نارام بایت گل

E-mail: aram1361@gmail.com

۱- پیش‌نوشتار

سنگنگاری و ماکروسکوپی برای بررسی منشأ و سازوکار این افق‌های کنگلومراهای معرفی می‌شوند (برای نمونه: Mount & Kidder, 1993)، فرایندهای روسوی مختلف می‌توانند موجب تشکیل این نوع افق‌های کنگلومراهای شود (Myrow et al., 2004; Chen et al., 2009). مهم‌ترین مستله در تفسیر افق‌های کنگلومراهای تفکیک و تمایز افق‌های کنگلومراهای تشکیل شده در اثر فرایندهای دیاژنسی از فرایندهای رسوب‌گذاری است. نهشته‌های بخش بالایی سازند ده- صوفیان (Geyer et al., 2014) واحد آهک‌نواری رسوب‌گذاری (Bayet-Goll et al., 2014 & 2015) از گروه میلا در البرز مرکزی واحد آهک‌نواری رسوب‌گذاری دارای افق‌های کنگلومراهای پلی مسطح با ویژگی‌های ریخت‌شناختی از شمال ایران دارای افق‌های کنگلومراهای ساختارهای صحرابی، تفاوت‌های زیادی در بافت و شکل کوناگونی هستند. بر پایه مطالعات صحرابی، نوع رسوبات همرا با این افق‌ها دیده قطعات کربناته، ساختارهای روسوی فیزیکی و نوع رسوبات همرا با این افق‌ها دیده می‌شود (بایت گل، ۱۳۹۳). در نتیجه گوناگونی در نوع افق‌های کنگلومراهای وجود افق‌های کنگلومراهای حاصل از فرایندهای دیاژنسی و فرایندهای رسوب‌گذاری در نهشته‌های بخش بالایی سازند ده- صوفیان، تفکیک و تفسیر سازوکارهای تشکیل این نوع افق‌های کنگلومراهای ضروری به نظر می‌رسد. هدف‌های اصلی این مقاله: ۱) تشخیص و نام‌گذاری انواع افق‌های کنگلومراهای آهکی؛ ۲) تفسیر سازوکار تشکیل این افق‌ها؛ ۳) معیارهای تفکیک و تمایز آنها از هم؛ ۴) تفاوت و تفکیک افق‌های کنگلومراهای حاصل از فرایندهای دیاژنسی و فرایندهای رسوب‌گذاری.

کنگلومراهای درون سازندی به عنوان افق‌های روسوی تعریف می‌شوند که قطعات موجود در این کنگلومراها به صورت همزمان با ماتریکس در یک محیط روسوی مشترک با منشأ رسوبات تشکیل می‌شوند. وجود این افق‌های کنگلومراهای در محیط‌های دریابی کم ژرف‌کارهای نشان از تأثیر فرایندهای درون محیطی بر بستر رسوبی کربناته و تجزیه و متلاشی شدن رسوبات برای تشکیل قطعات درون سازندی دارد (Chen et al., 2009). افق‌های کنگلومراهای آهکی یا کوناگونی پلی مسطح (flat pebble conglomerate) در محیط‌های روسوی گوناگونی از پهنه‌های کشنده تا محیط‌های شلف ژرف گزارش شده‌اند (برای نمونه: Kullberg et al., 2001; Myrow et al., 2004; Chen et al., 2009) سازوکار تشکیل این افق‌ها را بیشتر پژوهشگران تخریب و متلاشی شدن لایه‌های آهکی سخت شده تحت تأثیر فرایندهای فرسایشی در محیط‌های با نوسان‌های انرژی به ویژه محیط‌های تحت تأثیر توفان معرفی می‌کنند (Mount & Kidder, 1993; Chen et al., 2009 & 2011). در بیشتر موارد بر پایه مطالعات صحرابی، اینترکلاستیک رودستون تا فلوتسنون (intraclastic rudstone-floatstone) معرفی شده در طرح رده‌بندی Embry & Klovan (1971) به عنوان کنگلومراهای پلی مسطح معرفی می‌شوند. این افق‌های کنگلومراهای بر پایه مطالعات Myrow et al. (2004) از فراوان‌ترین و مهم‌ترین رسوبات همرا در سکوهای کربناته پر کامبرین و پالئوزویک پایینی هستند. اگرچه مطالعات

۲- موقعیت زمین‌شناسی ناحیه مورد مطالعه

واحدهای ۱ و ۲ سازند ده- صوفیان تغییرات گسترهای در مجموعه رخساره‌های تشکیل‌دهنده نشان می‌دهند. مهم‌ترین اختلاف مجموعه رخساره‌های واحد ۱ و ۲ سازند ده- صوفیان بود یا نبود پشتۀ‌های آلتی- آنکوییدی است؛ به طوری که در واحد ۱ سازند ده- صوفیان وجود پشتۀ‌های آلتی- آنکوییدی موجب گسترش لاگون و پهنه کشندی پشت لاگون شده است (شکل ۳). در برابر واحد ۲ سازند ده- صوفیان بدون پشتۀ‌های آلتی- آنکوییدی است؛ به همین دلیل به جای نهشته‌های لاگونی، نهشته‌های دارای پوشش‌های میکروبی تشکیل شده است که در پهنه‌های میان‌کشندی، فروکشندی کم‌ژرف و فروکشندی ژرف بر جای گذاشته شده است (شکل ۴) (بایت‌گل، ۱۳۹۳؛ Bayet-Goll et al., 2014). نهشته‌های کربناته سازند ده- صوفیان در البرز مرکزی در برش‌های شهمیرزاد، توبه دروار، میلاکوه و در چهار کمریند رخساره‌ای یک رمپ کربناته شامل محیط‌های ژرف حوضه‌ای، رمپ خارجی (توالی‌های فروکشندی ژرف)، رمپ میانی (توالی‌های فروکشندی کم‌ژرف و بخش پایینی میان‌کشندی) و رمپ داخلی (بخش بالایی میان‌کشندی و فراکشندی) بر جای گذاشته شده‌اند (شکل ۴) (Bayet-Goll et al., 2014؛ Bayat-Goll et al., 2014؛ همکاران، ۱۳۹۴). پوشش‌های میکروبی گوناگونی در رسوبات دریابی کم‌ژرف (شامل فروکشندی و میان‌کشندی) با ریخت‌شناسی‌های مختلفی از دید شکل و چگونگی رشد شامل فرم‌های مسطح تا موجی، گبیدی، پیازی، ستونی، بادبزنی و ترومبلیت (شکل ۴) به صورت چرخه‌های کوچک مقیاس شامل چرخه‌های فراکشندی، فروکشندی کم‌ژرف و فروکشندی ژرف معرفی شده‌اند (بایت‌گل و همکاران، ۱۳۹۴). تغییرات ریخت‌شناسی استریوماتولیت‌های سازند ده- صوفیان نشان می‌دهد که تأثیر انرژی محیط رسوبی و نرخ رسوب گذاری در این سازند با توجه به روند افزایش ژرفای محیط رسوبی و تأثیر نوسان‌های امواج و جزرمود، بیشترین تأثیر را بر ریخت‌شناسی استریوماتولیت‌ها داشته است (بایت‌گل و همکاران، ۱۳۹۴) بر پایه مطالعات (Bayet-Goll et al. 2015) بالاترین بخش واحد ۲ سازند ده- صوفیان شامل مجموعه رخساره‌های سنگ‌آهک‌های نواری (ribbon carbonate) و کنگلومراهای آهکی شامل رخساره‌های سنگ‌آهک- دولوستون با ساختارهای خروج از آب (L-De)، سنگ‌آهک- دولوستون (L-D)، گرینستون- سنگ‌آهک- (Gg-Lm)، گرینستون- شیل (Gg-S)، سنگ‌آهک- مارن (L-M)، سنگ‌آهک- شیل (L-S)، گرینستون- روستون بیوکلاستی (شکل ۵)، کنگلومراهای آهکی حاصل از فرایندهای رسوبی و کنگلومراهای دروغین حاصل از فرایندهای دیاژنزی است. بر پایه مطالعات (Bayet-Goll et al. 2015) با توجه به تغییر ویژگی‌های ساختارهای رسوبی فیزیکی و زیستی در طول توالی کربناتهای نواری، انرژی هیدرودینامیکی در حوضه و تغییرات در موجساز هوای آرام (FWB، fair-weather base) و موجساز هوای توفانی (SWB, storm weather base) بیشترین تأثیر را بر ویژگی‌های ساختاری و بافتی توالی کربناتهای نواری دارد. با توجه به ویژگی‌های ساختاری و بافتی انواع زوج لایه‌های سازند ده- صوفیان در محیط‌های میان موجساز هوای آرام و موجساز هوای توفانی (L-D, Gg-Lm) منطبق بر فروکشندی کم‌ژرف و زیر موجساز هوای توفانی یا در محدوده نزدیک به آن (Gg-s, L-M, L-S) و منطبق بر فروکشندی ژرف تهشین شده‌اند. توالی‌های رخساره‌ای نهشته‌های سازند فشم و ده- صوفیان در مجموعه چرخه‌های کوچک مقیاس شناسایی شده‌اند که شامل چرخه‌های فراکشندی، فروکشندی کم‌ژرف و فروکشندی ژرف است (بایت‌گل، ۱۳۹۳). ۶ توالی رسوبی رده سوم در نهشته‌های سازند فشم و ده- صوفیان با توجه به طرح برانبارش چرخه‌های رده چهارم و پنجم شناسایی شده است (Bayet-Goll et al., 2014). توالی‌های شناسایی شده به طور چیره از دستره رخساره‌های پیشوونده و پرسونده تشکیل شده‌اند. توالی‌های رسوبی شناسایی شده در این سازندها انتظامی مثبتی با نوسان‌های جهانی سطح آب دریانشان می‌دهند (Bayet-Golletal., 2014).

سازند میلا، واحد سنگ‌چینه‌ای معرف سنگ‌های کامبرین میانی- اردویسین پیشین البرز- آذربایجان و دیگر نواحی ایران است. سرآغاز کامبرین میانی، پیش روی جهانی سطح دریاها به پیدایش سکوی رمپ کربناته گستردگی در حاشیه و اگرای حوضه پروتوپالئوتیس (لامسی، ۱۳۷۹)- شمال ابرقاره گندوانا- انجامیده که سبب تهشینی نهشته‌های سازند میلا شده است. برش الگوی سازند میلا توسط Stocklin et al. (1964)، در میلاکوه دامغان، به سمتی ۵۸۵ متر اندازه گیری و معرفی شده است. Stocklin et al. (1964) و Stocklin et al. (1978)، بروایه جایگاه چینه‌شناختی، مرز کامبرین زیرین و میانی را رأس واحد کوارتزیت بالایی (Top Quartite) سازند لالون پیشنهاد کرده‌اند. با توجه به شواهد روی زمین بستگی این افق کوارتزیت با سازند میلا بیشتر از سازند لالون است (آقاباتی، ۱۳۸۳). از همین رو و بنا به توصیه کمیته ملی چینه‌شناختی، کوارتزیت رویی از سازند لالون حذف شد (آقاباتی، ۱۳۸۳). از سوی دیگر به دلیل وجود نایپوستگی‌های اصلی در میان عضوهای ۲ و ۳ و عضوهای ۴ و ۵ سازند میلا (Peng et al., 1999) بازنگری در تعریف سنگ‌چینه‌نگاری و چینه‌شناختی این سازند صورت گرفته است (Geyer et al., 2014; Bayet-Goll et al., 2014) با مطالعه نهشته‌های کامبرین و اردویسین البرز توسط (Geyer et al. 2014) و بایت‌گل (۱۳۹۳)، یک الگوی جدید سنگ‌چینه‌نگاری برای نهشته‌های پالوزوییک زیرین البرز پیشنهاد شده است. به طوری که نهشته‌های کامبرین- اردویسین البرز مرکزی با نام گروه میلا معرفی شده است که شامل سازندهای فشم (جدید، معادل با کوارتزیت رأسی یا قاعده‌ای)، ده- صوفیان (جدید، معادل با عضوهای ۱ و ۲ سازند میلا)، ده- ملا (جدید، معادل با عضوهای ۳ و ۴ میلا) و سازند لشکرک (معادل با عضو ۵ میلا) است (شکل ۲).

در این مطالعه واحد ۲ سازند ده- صوفیان در البرز مرکزی برای بررسی و مطالعه منشأ کنگلومراهای آهکی بررسی می‌شود. کنگلومراهای آهکی یکی از شاخص‌ترین و آشکارترین لایه‌های رسوبی دیده شده در واحد ۲ سازند ده- صوفیان هستند که وجود این افق‌های کنگلومراهای با شکل‌ها و نوع‌های مختلف سبب شده است که زمینه مناسبی برای بررسی این افق‌های کنگلومراهای و سازوکار تشکیل آنها ارائه دهد.

۳- روش مطالعه

در این مطالعه ۴ برش چینه‌شناختی واحد ۲ سازند ده- صوفیان در برش‌های ده- ملا، شهمیرزاد، توبه دروار و میلاکوه بررسی شد (شکل ۱). ۱۵۰ نمونه سنگی برای مطالعات آزمایشگاهی برداشت شده که از این تعداد، ۱۰۰ عدد برش نازک به طوری تهیه شده است که همه توالی را پوشش دهد. در مطالعات مقاطع نازک نوع رسوبات زمینه کنگلومراهای آهکی، فایریک و سنگ‌نگاری رسوبات میزان (matrix) و قطعات کربناته (clasts) و فرایندهای دیاژنسی مورد توجه قرار گرفت. در برداشت‌های صحرایی سترای لایه‌های دارای کنگلومراهای آهکی، شکل و اندازه قطعات، ارتباط قطعات و آرایش آنها سبب به هم و رسوبات لایه میزان، سطوح لایه‌بندی، ساختارهای رسوبی، میزان زیست‌آشفتگی، تغییرات اندازه دانه‌ها و همچنین ارتباط لایه‌ها بررسی شد.

۴- رخساره‌های رسوبی و توالی رخساره‌ای

مجموعه توالی رسوبی پایینی واحد ۲ سازند ده- صوفیان از شیل‌های سیز، مارن، استریوماتولیت، دولوستون و سنگ‌آهک‌های اسکلتی با میان‌لایه‌هایی از کربناتهای نواری پهنه کشندی تشکیل شده است. مجموعه توالی رسوبی بالایی واحد ۲ سازند ده- صوفیان از کربناتهای نواری تشکیل شده است. مرز بالایی واحد ۲ سازند ده- صوفیان با ماسه‌سنگ‌های قاعده‌ای سازند ده ملا در برش ده ملا نایپوسته است (شکل ۳).

۵- توصیف و تفسیر کنگلومراهای آهکی

کنگلومراهی همراهی نزدیکی با لایه‌های گرینستون- رودستون بیوکلاستی دارند. چینه‌بندی مورب هموکی ستر و لایه‌بندی مسطح از ساختارهای مهم همراه با لایه‌های کنگلومراهی نوع دوم است. وجه تمایز این نوع کنگلومراهی آهکی از دیگر انواع کنگلومراهای رسوبی به‌ویژه نوع سوم، نبود برهم افزایندگی چینه‌های کنگلومراهی و وجود فرایند تک مرحله‌ای تشکیل با یک سطح فرسایشی است. همچنین قرارگیری آنها در بخش پایینی توالی‌های توفانی (تمپسیت) به عنوان بخش قاعده‌ای توالی توفانی و تبدیل تدریجی آنها با دانه‌بندی تدریجی عادی به بخش‌های بالایی توالی‌های توفانی با چینه‌بندی مورب هموکی ستر و لایه‌بندی مسطح (شکل ۶-۵) از دیگر ویژگی‌های مهم وجه تمایز آنها از کنگلومراهی نوع سوم است.

- نوع ۳(C): این نوع افق‌های کنگلومراهی ۱۰ تا ۷۰ سانتی‌متر ستبر اند و به‌طور چیره دارای ژئومتری تابولار هستند. سطح قاعده‌ای این نوع افق‌ها مسطح فرسایشی و گاه به صورت نامنظم با آثار گروکست (groov cast) دیده می‌شود (شکل ۶-۶g و h). در بیشتر موارد این نوع افق‌های کنگلومراهی به صورت واحدهای برهم افزاینده (amalgamated) با مرز مشخص دیده می‌شوند (شکل ۶-۶j). چنان‌که ستبرای بالا وجود فرایند چندمرحله‌ای تشکیل با سطوح فرسایشی چندگانه در میان این نوع افق‌های کنگلومراهی، آنها را از کنگلومراهی نوع دوم تمایز می‌سازد. قطعات فلات پبل در این افق‌ها به صورت قطعات گرد شده با شکل تابولار تاخیر مرغی شکل است که در اندازه‌های ۵ تا ۲۵ میلی‌متر دیده می‌شوند؛ از دید سنگ‌نگاری این قطعات دارای ترکیب سنگ‌شناصی میکرایتی تا وکستونی هستند و گاه نیز ترکیبات گرینستونی دانه‌ریز در آنها دیده می‌شود. قطعات موجود در این افق‌ها دارای جهت یافته‌گی نیمه‌موازی تا موازی نسبت به لایه رسوبی سنگ میزان هستند و بیشتر قطعات روند جهت یافته‌گی مشابهی دارند. ماتریکس موجود دارای ترکیب سنگ‌شناصی میکرایتی تا وکستونی است و گاه نیز ترکیب اصلی زمینه این نوع افق‌های کنگلومراهی را کلسی سیلیتیات دانه‌ریز تشکیل می‌دهد. قطعات اسکلتی شامل قطعات تریلویت‌ها، برآکریوپدها و اکینوردم‌ها در این افق‌ها کمتر دیده می‌شود. برخلاف کنگلومراهی نوع دوم این نوع کنگلومراها ساخته‌های رسوبی همراه مانند چینه‌بندی مورب هموکی ستبر و لایه‌بندی مسطح ندارند و بیشتر لایه‌های رسوبی (shoal) پرانرژی دیده می‌شوند.

۵-۲. چینه‌های کنگلومراهی دروغین حاصل از فرایندهای دیاژنزی

این نوع کنگلومراهای آهکی بیشتر به صورت میان‌لایه در میان چینه‌های آهکی و شیلی نازک‌لایه نواری تشکیل شده‌اند. چینه‌های کنگلومراهی آهکی حاصل از فرایندهای دیاژنسی به طور چیره الیگومکتیک هستند و در بیشتر موارد این افق‌های کنگلومراهی ماتریکس میکرایتی رس دار تا کلسی سیلیتیات دارند (Chen et al., 2009). مهم‌ترین ویژگی‌های این نوع افق‌های کنگلومراهی افزون بر ترکیب الیگومکتیک قطعات، شکل و جهت قرارگیری متغیر قطعات، وجود فابریک تدریجی و متغیر، تغییرات تدریجی میان رخساره‌های مجاور با افق‌های کنگلومراهی، نبود ساختارهای رسوبی همراه است (Sepkoski et al., 1991; Demicco & Hardie, 1994; Chough et al., 2001; Kwon et al., 2002). چینه‌های کنگلومراهی آهکی حاصل از فرایندهای دیاژنسی در نهشته‌های واحد ۲ سازند-ده- صوفیان همراهی نزدیکی با زوج لایه‌های متاپل است- داده شده است. بر پایه مطالعات میکروسکوپی و ماسکروسکوپی چینه‌های کنگلومراهی دروغین حاصل از فرایندهای دیاژنسی به ترتیب شامل انواع زیر هستند:

- نوع ۴(D): این نوع افق آهکی فراوانی کمی نسبت به دیگر چینه‌های آهکی تغییر شکل یافته دارد و دارای قطعات الیگومکتیک تا موونومکتیک در اندازه‌های پبل تا کابل با زمینه دولومیتی یا مادستون هستند (شکل ۷-a). قطعات در این افق‌ها به طور چیره تیغه‌ای تا دیسکی شکل و دارای گردش‌گی کم با گوشش‌های

واحد ۲ سازند-ده- صوفیان شامل تناوب ستبری از سنگ‌های نواری (ribbon) با تناوب از شیل- مارل- آهک و دارای شمار زیادی چینه‌های کنگلومراهی آهکی است. در بیشتر موارد این چینه‌ها به صورت چینه‌های لنزی شکل با گسترش جانبی کم هستند؛ به طوری که نمی‌توان به طور جانبی در فواصل طولانی این چینه‌ها را دنبال کرد. بر پایه مشاهدات مطالعات میکروسکوپی و مطالعات صحرایی شامل ترکیب ماتریکس، قطعات، ساختارهای رسوبی و فابریک دو گروه اصلی از چینه‌های کنگلومراهی آهکی شناسایی شده است:

۵-۱. چینه‌های کنگلومراهی آهکی حاصل از فرایندهای رسوبی

این نوع کنگلومراهای آهکی درون سازندی بیشتر به صورت میان‌لایه در میان چینه‌های آهکی و شیلی نازک‌لایه نواری تشکیل می‌شوند. فلات پبل‌های این نوع کنگلومراها در اثر حمل و تنشیتی قطعات کنده شده (rip-ups) آهک‌های نیمه‌سخت شده در اثر نوسان‌های انرژی محیط تنشیتی ایجاد می‌شوند (Sepkoski et al., 1991; Mount & Kidder, 1993). این نوع افق‌های کنگلومراهی دارای قاعده فرسایشی مشخص و گاه تدریجی هستند که می‌توانند با ساختارهای فیزیکی پرانرژی همچون چینه‌بندی مورب پشت‌های همراه باشند (Kreisa & Bambach, 1982). از سوی دیگر این نوع کنگلومراها قطعات و زمینه پلی‌مکتیک دارند (Demicco & Hardie, 1994) که در بیشتر موارد دارای قطعات فابریک درونی متغیری هستند که نشان از نشانه‌های اولیه محیط رسوب گذاری دارد.

چینه‌های کنگلومراهی آهکی حاصل از فرایندهای رسوبی در نهشته‌های واحد ۲ سازند-ده- صوفیان بر پایه مطالعات میکروسکوپی و ماسکروسکوپی به ترتیب شامل انواع زیر است:

- نوع ۱(A): این نوع افق‌های کنگلومراهی ۱۰ تا ۵۰ سانتی‌متر ستبر اند و بیشتر قطعه غالب هستند و به صورت تدریجی به چینه‌های گرینستونی با پبل‌های مسطح پراکنده تبدیل می‌شوند. چینه‌های کنگلومراهی نوع اول با ژئومتری تابولار یا لنزی شکل نیز دیده می‌شوند (شکل ۶-a تا ۶-d). سطح قاعده‌ای این نوع افق‌ها مسطح فرسایشی و گاه به صورت نامنظم با آثار گروکست (groov cast) دیده می‌شود (شکل ۶-e-d). قطعات فلات پبل در این افق‌ها به صورت قطعات گرد شده و کشیده با اندازه ۲ تا ۲۰ میلی‌متر هستند؛ از دید سنگ‌نگاری این قطعات ترکیب سنگ‌شناصی متفاوت با رسوبات سنگ میزان دارند به طوری که در بیشتر موارد این قطعات دارای ترکیب میکرایتی تا وکستونی هستند و گاه نیز ترکیبات گرینستونی دانه‌ریز نیز در آنها دیده می‌شود (شکل ۶-e). قطعات موجود در این افق‌ها دارای جهت یافته‌گی تا ایمپر کاسیونی نسبت به لایه رسوبی سنگ میزان هستند و به طور چیره بیشتر قطعات، روند جهت یافته‌گی مشابهی دارند؛ قطعات با جهت یافته‌گی متغیر کمتر در چینه افق‌هایی دیده می‌شود (شکل ۶-b). ماتریکس موجود در چینه‌های کنگلومراهی اندازه و ترکیب سنگ‌شناصی متغیری را نشان می‌دهد. بیشتر قطعات تشکیل دهنده ماتریکس شامل قطعات تریلویت‌ها، برآکریوپدها، اکینوردم‌ها و تا حد کمتری دانه‌هایی از کوارتز هستند. این نوع افق‌های کنگلومراهی همراهی نزدیکی با زوج لایه‌های متناوب شیلی- مادستونی و شیلی/ مارلی- گرینستونی دارند. چینه‌بندی مورب هموکی نازک با طول موج کوتاه و دامنه کم و لامیناسیون موازی از ساختارهای مهم همراه با لایه‌های همراه با کنگلومراهی نوع اول است.

- نوع ۲(B): این نوع افق‌های کنگلومراهی ویژگی‌های میکروسکوپی و ماسکروسکوپی مشابهی با افق‌های کنگلومراهی نوع اول دارند؛ با این تفاوت که در این نوع، قطعات تشکیل دهنده فلات پبل‌ها دارای جورشدگی و گردش‌گی کمتری هستند. در بیشتر موارد در قطعات پبلی شکستگی‌های فراوانی دیده می‌شود. از دیگر ویژگی‌های مهم این نوع افق کنگلومراهی وجود جهت یافته‌گی متغیر قطعات پبلی نسبت به لایه رسوبی سنگ میزان است (شکل ۶-e و f). این نوع افق‌های

پلی مکتیک، شکل میله‌ای و کشیده قطعات با گوشه‌های گرد شده، وجود طرح‌های ریخت‌شناختی متفاوت بدون تغییرات تدریجی در فابریک، نبود تغییرات تدریجی میان لایه‌های بالا و پایین افق‌های کنگلومراهای با چینه‌بندی دارای فلاٹ‌پل، وجود ساختارهای همراه، چینه‌بندی داخلی فلاٹ‌پل‌ها و چینه‌بندی تدریجی عادی یا وارون، سطح چینه‌بندی فرسایشی مشخص، نبود فروفنگی و برآمدگی قطعات در لایه‌های مجاور و وجود چینه‌بندی هوموکی در لایه‌های رسوبی همراه که نشان از تشکیل کنگلومراهای آهکی نوع اول تا سوم واحد ۲ سازند ده- صوفیان در اثر فرایندهای رسوبی دارند. این نوع کنگلومراهای آهکی بیشتر به عنوان نهشته‌های لاغک پیشرونده در موقعیت‌های فروکشندی تا میان‌کشندی در اثر افزایش انژری معرفی می‌شوند (Markello & Read, 1981; Sepkoski et al., 1991; Demicco & Hardie, 1994; Bayet-Goll et al., 2014). کنگلومراهای آهکی نوع اول تا سوم واحد ۲ سازند ده- صوفیان به صورت میان‌لایه در میان چینه‌های شیلی- مارلی دانه‌ریز فروکشندی یا چینه‌های گرینستونی و استروماتولیت‌های محیط میان‌کشندی دیده می‌شوند. مطالعات مختلفی بر روی پهنه‌های کشندی کربناته دارای چینه‌های کنگلومراهای آهکی حاصل از فرایندهای رسوبی صورت گرفته است (Markello & Read, 1981; Lee & Kim, 1992; Mount & Kidder, 1993; Sepkoski et al., 1991). چینه‌های کنگلومراهای آهکی حاصل از فرایندهای رسوبی یکی از مهم‌ترین اجزای تشکیل‌دهنده نهشته‌های کربناته در کامبرین و اردوویسین زیرین است (Sepkoski et al., 1991). بیشتر این مطالعات بر پایه شواهد میکروسکوپی و ماکروسکوپی اشاره شده در بالا، محیط‌های فروکشندی تحت تأثیر نوسان‌های موج‌ساز هوای توفانی و آرام (SWB و FWWB) را برای تشکیل کنگلومراهای آهکی حاصل از فرایندهای رسوبی، پیشنهاد می‌کنند. بر پایه مطالعات Myrow et al. (2004) وجود سیمانی شدن دریابی اویله کربناته و تشکیل سطوح هارگراند شرط بنیادین و اویله برای تشکیل فلاٹ‌پل‌ها است. تخریب و متلاشی شدن لایه‌های انژری به‌ویژه محیط‌های تحت تأثیر توفان فرایند بعدی محیط‌های با نوسان‌های انژری در کنگلومراهای آهکی نوع اول تا سوم واحد ۲ سازند ده- صوفیان است (Bayet-Goll et al., 2014). در بررسی صحراخی و آزمایشگاهی مشخص شد که بیشتر قطعات آهکی موجود در کنگلومراهای آهکی نوع اول تا سوم از دید سنگ‌نگاری مشابه لایه‌های زیرین خود هستند؛ به‌طوری که در نتیجه شرایط پرانژری همچون توفان، بستر چینه‌های آهکی سخت شده تا نیمه سخت شده تحت تأثیر فرسایش قرار می‌گیرند؛ سپس قطعات کنده شده و فرسایش یافته در طول آرام شدن جریان و کاهش انژری تهشین می‌شوند و تشکیل کنگلومراهای پلی مسطح را می‌دهند. افرون بر شواهد صحراخی اشاره شده در بالا در مطالعات آزمایشگاهی مشخص شد که وجود بورینگ و دانه‌های سیمانی شده- قطع شده در حاشیه‌ها، نشان می‌دهد که رسوبات در ابتدا سخت شده‌اند و سپس بر اثر فرایندهای حاصل از تغییرات جریان انژری فرسایش، حمل و دوباره رسوب گذاری شده‌اند.

در نهشته‌های واحد ۲ سازند ده- صوفیان چینه‌های کنگلومراهای آهکی نوع اول به‌طور چیره در محیط‌های فروکشندی همراه با چینه‌های متناوبی شیلی- مارلی (L-S, L-M) یا گرینستون دانه‌ریز- شیل (Gg-S) دیده می‌شوند این در حالی است که چینه‌های کنگلومراهای آهکی نوع دوم و سوم همراه با زوچ لایه‌های سنگ‌آهک- دولوستون (L-D)، گرینستون- سنگ آهک (Gg-Lm) دیده می‌شود. وجود چنین تغییراتی نشان از تشکیل این کنگلومراهای در یک محیط رسوبی گستره از میان‌کشندی تا فروکشندی ژرف دارد. فراوانی ساختارهای پرانژری چینه‌بندی مورب هوموکی همراه با چینه‌های کنگلومراهای نوع اول نشان‌دهنده محیط تحت تأثیر توفان است. همچنین وجود لایه‌بندی موازی همراه با چینه‌های کنگلومراهای آهکی نشان‌دهنده شرایط جریانی بالا (upper flow regime plane bed) است. وجود چینه‌بندی مورب

زاویه‌دار تن داشتند. همچنین قطعات خمیده و پهن نیز در این افق‌ها به فراوانی کمتری دیده می‌شوند. از مهم‌ترین ویژگی‌های این افق‌ها جابه‌جایی، پراکندگی نامنظم و تغییر شکل قطعات در زمینه رسوب میزان است، به طوری که وجود چنین ویژگی‌هایی موجب ایجاد تغییرات فراوان در جهت گیری قطعات می‌شود. فابریک چیره درونی این نوع افق‌های آهکی بر پایه طرح رده‌بندی کنگلومراهای دروغین Chen et al. (2009) موزاییک شکل است (شکل ۹). البته گاه این افق‌ها دارای مرز تدریجی در نوع فابریک از موزاییکی تا نامنظم به صورت لنزی در میان کربناتهای نواری هستند (شکل ۷- b). این افق‌ها با لایه‌های رسوبی بالا و پایین خود مرز تدریجی دارند.

- نوع ۵ (E): این نوع افق‌های کنگلومراهای از قطعات الیگومکتیک (کمتر پلی مکتیک) در اندازه گرانول تا پل با گوشه‌های نیمه گرد شده تا زاویه‌دار تشکیل شده‌اند. قطعات در این افق‌ها با ترکیب مادستون تا دولومادستون، در اندازه چند میلی‌متر تا چند سانتی‌متر دیده می‌شوند. همچنین قطعات در این افق‌ها نامنظم هستند و با شکل زاویه‌دار تا نیمه‌زاویه‌دار کشیده بر پایه طرح رده‌بندی Chen et al. (2009) (edgewise) را می‌دهند (شکل‌های ۷- c و d). در بیشتر موارد این نوع فابریک‌ها با هم‌دیگر و همچنین با لایه‌های رسوبی بالا و پایین خود مرز تدریجی دارند. در قطعات موجود در این کنگلومراها جهت یافتنگی خاصی دیده نمی‌شود و تغییرات زیادی در اندازه، شکل و جابه‌جایی قطعات موجب جهت یافتنگی متغیر قطعات پلی نسبت به لایه رسوبی سنگ میزان می‌شود. زمینه سنگ میزان این افق‌ها به صورت مادستون دارای رس و یا دولومیت است. چینه‌های دارای این نوع کنگلومراها دارای محدوده ستبرایی متغیر از چند سانتی‌متر تا بیش از ۳۰ سانتی‌متر است. چینه‌های کنگلومراهای در این نوع به علت فروفنگی (downtruding) و برآمدگی (uptruding) قطعات دارای مرز نامنظم و شکل ریخت‌شناختی نامنظم و متغیر هستند (شکل ۷- e).

- نوع ۶ (F): این کنگلومراها شامل قطعات آهکی الیگومکتیک (کمتر پلی مکتیک) در اندازه گرانول تا پل با گوشه‌های گرد شده هستند. قطعات موجود در این کنگلومراها به‌طور چیره ایقایتی تا دولومیتی و گاه گرینستونی رس دار تا دولومیتی است. قطعات به‌طور چیره دارای شکل کشیده تابولار تا میله‌ای هستند. قطعات دیسکی تا بیضوی شکل نیز کمتر دیده می‌شود. قطعات، بیشتر شکل موازی تا نیمه‌موازی با سطح چینه‌بندی (فابریک مسطح) دارند. همچنین فابریک جنبی یا راندگی نیز در این نوع کنگلومراها دیده می‌شود (شکل ۷- f تا h). چینه‌های رسوبی سنگ‌آهکی در این نوع به علت فروفنگی و برآمدگی قطعات در لایه‌های شیلی یا مارلی- آهکی بالا و پایین دارای مرز مشخص نیز در این نوع کنگلومراها بر پایه رده‌بندی دیده می‌شود. از مهم‌ترین ویژگی این نوع کنگلومراها بر پایه دیده می‌شود. از مهم‌ترین ویژگی این نوع کنگلومراها بر پایه رده‌بندی Chen et al. (2009 & 2011) وجود تغییرات بافتی از مسطح به جهت دار و راندگی است (شکل ۷- i). از مهم‌ترین ویژگی‌هایی که سبب تمایز این نوع کنگلومرا از کنگلومرا مشابه نوع ۵ می‌شود تشکیل نشدن فابریک نامنظم تا جنبی (edgewise) در قطعات آهکی الیگومکتیک این نوع کنگلومرا وجود قطعات آهکی الیگومکتیک در این نوع کنگلومرا با شکل موازی تا نیمه‌موازی نسبت به سطح چینه‌بندی (فابریک مسطح) می‌تواند وجه مشخصه مهم دیگری برای تمایز آن از کنگلومرا مشابه نوع ۵ باشد.

۶- چینه‌های کنگلومراهای آهکی حاصل از فرایندهای رسوبی

مهم‌ترین ویژگی‌های کنگلومراهای حاصل از فرایندهای رسوب گذاری نهشته‌های واحد ۲ سازند ده- صوفیان عبارتند از وجود قطعات آهکی الیگومکتیک تا

برای این ترک‌ها در نظر گرفت، زیرا فشارهای زمین‌ساختی موجب شکستگی کلی سرتاسری لایه‌های رسوبی می‌شود.

(۲) با افزایش پیشرونده تدفین، آب‌های درون حفره‌ای موجود در چینه‌های آهکی تمایل به خروج از سطح بالای لایه آهکی دارند؛ با این وجود در چینه‌های آهکی نواری موجود در این واحد، وجود لایه‌های شیلی-مارنی به صورت سدی نفوذناپذیر موجب بیرون نرفتن این آب و افزایش تدریجی فشار آب درون حفره‌ای موجب گسترش و تسریع تخریب-فسایش تدفینی گل‌های آهکی سیمانی شده می‌شود؛ همچنین به تدریج جریان سیال‌های درون حفره‌ای به صورت جانی مهاجرت می‌کند و موجب جهت یافته‌گی دوباره قطعات و گردشگی آنها می‌شود.

(۳) عمل آب‌زدایی و حرکت آب‌های سیال درون حفره‌ای به سوی جوانب تحت تأثیر نیروی فشردگی رسوبات موجب تحرك و جابه‌جایی قطعات گسیخته شده می‌شود. تحرك و جابه‌جایی قطعات گسیخته شده تحت تأثیر عوامل زیر به طور تدریجی افزایش می‌یابد: ۱) افزایش تدریجی فشردگی رسوبات همزمان با تداوم نرخ رسوب گذاری؛ ۲) تأثیر رسوبات شیلی نفوذناپذیر به عنوان سدی در برابر خروج سیال‌های درون حفره‌ای؛ ۳) افزایش تدریجی فشار آب‌های درون حفره‌ای. تحرك و جابه‌جایی بیشتر قطعات گسیخته شده تحت تأثیر چینه‌های عواملی موجب ایجاد کنگلومراهای دیاژنزی با فابریک اتفاقی همچون کنگلومراهای موzaïek و کنگلومراهای با فابریک جنبی/نامنظم (disorganized/edgewise) می‌شود.

(۴) قطعات گسیخته شده به تدریج به دلیل نیروی اصطکاک جریان سیال‌های درون حفره‌ای، کشش سطحی رسوبات آهکی نواری، برخورد مداوم با دیگر قطعات و افزایش گردشگی را نشان می‌دهند (Chough et al., 2001).

۸- سیمانی شدن تغیریقی اولیه

سیمانی شدن تغیریقی اولیه در سنگ‌های آهکی نواری که دارای تغیرات زیادی در میزان کربنات و رس است، بیشترین گسترش را دارد (Ricken & Eder, 1991؛ Ricken & Eder, 1991؛ Zijlstra, 1997؛ Molenaar & Zijlstra, 1997). منشأ سیمان شدن کلسیتی اولیه در سنگ‌های آهکی دانه درشت از محیط‌های پرانرژی حاصل از آب دریاست؛ در حالی که سازوکار اصلی تأمین منشأ سیمان در نهشته‌های دانه‌ریز موجود در محیط‌های کم انرژی به وسیله آب‌های درون حفره‌ای در نظر گرفته می‌شود (Molenaar & Zijlstra, 1997). بر این اساس در نهشته‌های سازند ده-صوفیان محتواهی رس در سنگ‌های آهکی نواری بیشترین تأثیر را بر سیمانی شدن داشته است. زیرا وجود چند درصد رس از سیمانی شدن دریابی اولیه در طول مرحل اولیه دیاژنز جلوگیری می‌کند. بنابراین سیمانی شدن میان لایه‌های کربناته با محتواهی رس در سنگ‌های آهکی نواری سازند ده-صوفیان به طور کامل صورت نمی‌گیرد. چنین شرایطی همراه با افزایش پیشرونده رسوب گذاری موجب تناوبی از لایه‌های سیمانی شده در کنار لایه‌های غیرسیمانی شده می‌شود. در نتیجه گسترش سیمانی شدن تغیریقی، رفتار لایه‌های سنگ‌آهکی نواری در برابر فرایندهای فشردگی مکانیکی و شیمیایی متفاوت است (Demico & Hardie, 1994؛ Ricken & Eder, 1991؛ Demico & Hardie, 1994؛ Kown et al., 2002).

۹- شرایط پالئواکولوژیکی

همچنان که در بالا مشخص شد وجود تناوب لایه‌های غنی از کربنات و غنی از

هوموکی با ستبرای کم، گاترکست در لایه‌های گرینستونی دانه‌ریز با جورشده‌گی خوب و فراوانی بالای لایه‌های شیلی-مارلی نشان از تشکیل کنگلومراهای آهکی نوع اول به عنوان تمپستایت‌های آهکی در محیط فروکشنالی ژرف و کم انرژی در زیر Myrow et al. (2004) موجساز هوای توفانی است. چینه‌هایی بر پایه مطالعات به عنوان رخساره توفانی دور از منشأ در نظر گرفته می‌شوند. با این وجود چینه‌بندی مورب هوموکی با ستبرای بالا وجود گاترکست در لایه‌های گرینستونی دانه‌ریز تا دانه درشت با جورشده‌گی خوب و نبود لایه‌های شیلی-مارلی همراه با شاهدی از واحدهای رخساره‌های توفانی (amalgamated) نشان از تشکیل کنگلومراهای آهکی نوع دوم و سوم در میان موجساز هوای توفانی و آرام دارد. ستبرای بیشتر چینه‌های هوموکی آهکی و اندازه درشت قطعات گرینستون با جورشده‌گی بالا و نبود لایه‌های کم انرژی شیلی-مارل و میکرات نشان می‌دهد که کنگلومراهای آهکی نوع دوم و سوم به عنوان رخساره‌های توفانی نزدیک به منشأ در یک محیط فروکشنالی کم ژرف‌تا میان کشنده‌ی پایینی تشکیل شده‌اند (شکل ۸).

۷- چینه‌های کنگلومراهای آهکی حاصل از فرایندهای دیاژنسی ۷-۱. شرایط تشکیل

مهم‌ترین ویژگی‌های کنگلومراهای حاصل از فرایندهای دیاژنسی نهشته‌های واحد ۲ سازند ده-صوفیان وجود قطعات آهکی الیکومکیک (گل آهکی) کمتر پلی‌مکیک، گسترش و فراوانی فابریک‌های جنبی، نامنظم و موzaïek، وجود مرز تدریجی میان فابریک و لایه‌های مجاور با چینه‌های کنگلومراهای است. فرایند تشکیل کنگلومراهای دیاژنسی تحت تأثیر شرایط زیر تعریف می‌شود: ۱) تناوب لایه‌های غنی از کربنات و غنی از رس با کربنات کم؛ ۲) سیمانی شدن تغیریقی اولیه لایه‌های غنی از کربنات. بر پایه مطالعات Chen et al. (2009 & 2011) افزون بر چینه شرایطی برای تشکیل کنگلومراهای آهکی، تغییر شکل اولیه و به عبارت دیگر، تخریب و فسایش تدفینی گل‌های آهکی سیمانی شده (burial fragmentation) و تحرك و جابه‌جایی قطعات آهکی از مهم‌ترین فرایندهای تشکیل‌دهنده برای ایجاد کنگلومراهای آهکی دیاژنسی است. تغییر شکل لایه‌های رسوبی و در پی آن تخریب و فسایش زیر‌سطحی گل‌های آهکی سیمانی شده به صورت درجaza می‌تواند حاصل از تأثیر نیروی خارجی در فاصله زمانی کوتاه (همچون اثرات زمین‌لرزه، تأثیرات امواج و توفان، ناپایداری شب رسوبی و ...) باشد.

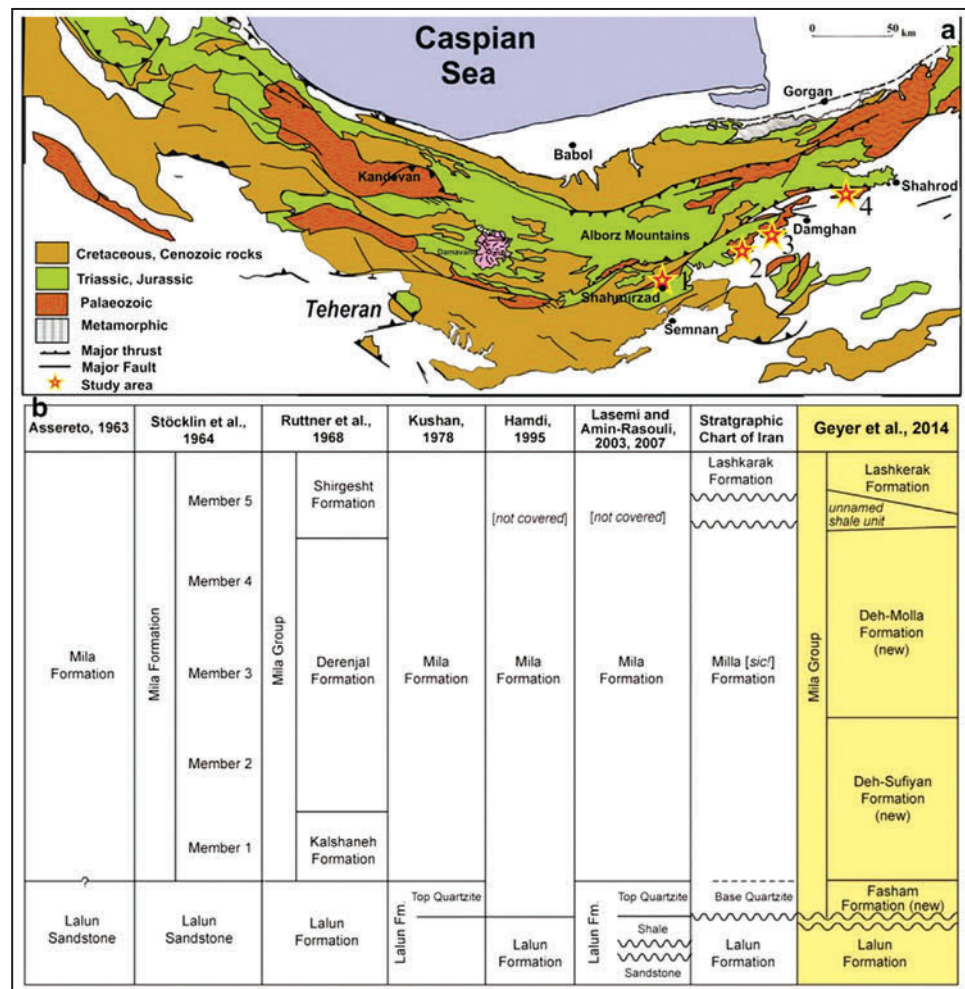
تخریب و متلاشی شدن لایه گل آهکی در ابتدا از بخش پایینی لایه شروع می‌شود و سپس به سوی بخش‌های بالایی گسترش می‌یابد. بر پایه مطالعات پژوهشگران مختلف (Ricken & Eder, 1991؛ Demico & Hardie, 1994؛ Kown et al., 2002) تخریب به طور چهار در طول مرز جداشناختی صورت می‌گیرد. در حالی که تحرك و جابه‌جایی قطعات آهکی تحت تأثیر افزایش فشار روباره و نرخ رسوب گذاری در طول تدفین صورت می‌گیرد (Kown et al., 2002)؛ به طوری که در نهشته‌های واحد ۲ سازند ده-صوفیان فرایند تشکیل لایه‌های کنگلومراهای آهکی-دیاژنسی به صورت زیر صورت گرفته است (شکل ۹):

(۱) تغییر شکل اولیه لایه‌های آهکی از راه گسترش شکاف‌ها و ترک‌های نازک در سنگ صورت می‌گیرد؛ چنین شکاف‌هایی چند میلی‌متر پهنا دارند و به طور چهار با رسوبات لایه‌ای پر می‌شوند. منشأ این ترک‌های را نمی‌توان به ترک‌های خشک‌شده‌گی یا ترک‌های سین‌آرسیس تشکیل شده در شرایط آب کم ژرف‌تا تحت تأثیر نوسان‌های شوری نسبت داد. در نهشته‌های آهک نواری با کنگلومراهای دیاژنسی سازند ده-صوفیان نبود شواهد خروج از آب، همچون حفرات چشم‌پرندۀ‌ای، ساختمان‌های تی‌پی، تبخیری‌ها و پوشش‌های میکروپیال و رخساره‌های شاهد محیط کم ژرف‌ای فاکشنالی، از منشأ تدفینی کم ژرف‌ای ترک‌های موجود در لایه‌های آهکی حمایت می‌کند. بر پایه مطالعات Chen et al. (2011) منشأ زمین‌ساختی را نمی‌توان

۱۰- نتیجه‌گیری

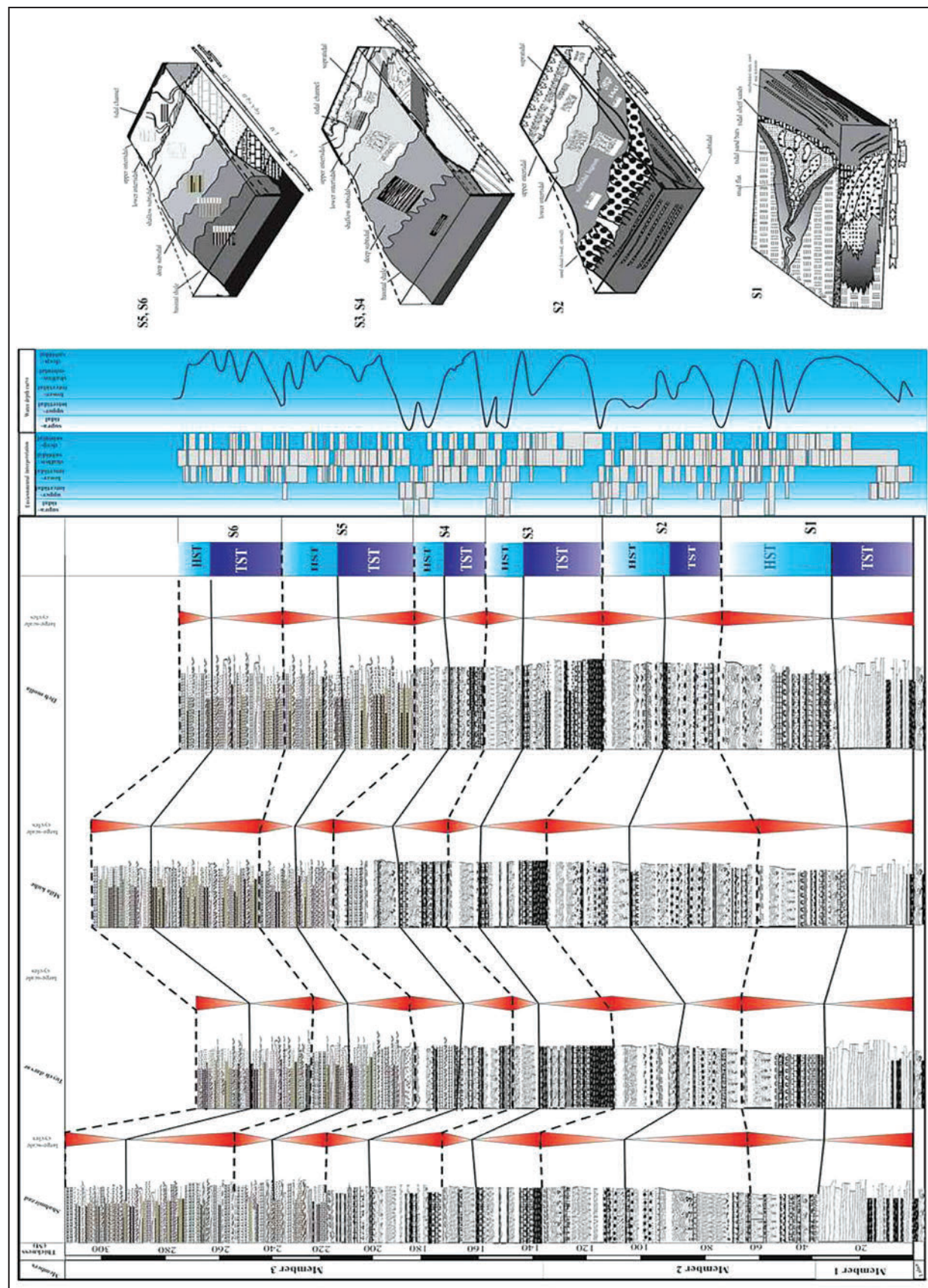
واحد ۲ سازند ده- صوفیان در البرز مرکزی از شمال ایران شامل کربنات‌های دریابی کم‌ژرفایی است که به وسیله انواع مختلف کنگلومراهای آهکی توصیف می‌شود. بر پایه ترکیب، ویژگی‌های ساختارهای رسوبی همراه و فابریک، کنگلومراهای آهکی در واحد ۲ سازند ده- صوفیان شامل دو گروه اصلی هستند: ۱) کنگلومراهای آهکی درون سازندی حاصل از فرایندهای رسوبی؛ ۲) چینه‌های کنگلومرایی آهکی دروغین حاصل از فرایندهای دیاژنزی. مهم‌ترین ویژگی‌های کنگلومراهای حاصل از فرایندهای رسوب‌گذاری وجود قطعات آهکی الیگومکتیک تا پلی‌مکتیک، شکل میله‌ای و کشیده قطعات با گوشه‌های گرد شده، وجود فابریک متغیر بدون تغییرات تدریجی در فابریک، نبود تغییرات تدریجی میان لایه‌های بالا و پایین افق‌های کنگلومرایی با لایه دارای فلات‌پیل، وجود ساختارهای همراه، چینه‌بندی داخلی فلات‌پیل‌ها و چینه‌بندی تدریجی عادی یا وارون، سطح چینه‌بندی فرسایشی مشخص، نبود فرورفتگی و برآمدگی قطعات در لایه‌های مجاور، وجود چینه‌بندی هموکی در لایه‌های رسوبی همراه است. مهم‌ترین ویژگی‌های کنگلومراهای حاصل از فرایندهای دیاژنزی نهشته‌های واحد ۲ سازند ده- صوفیان وجود قطعات آهکی الیگومکتیک (گل آهکی) کمتر پلی‌مکتیک، گسترش و فراوانی فابریک‌های جنبی، نامنظم و موzaیکی، وجود مرز تدریجی میان فابریک و لایه‌های مجاور با چینه‌های کنگلومرایی است. شرایط لازم برای تشکیل کنگلومرایی آهکی- دیاژنزی عبارتند از ۱) تناوب لایه‌های غنی از کربنات و غنی از رس با کربنات کم؛ ۲) سیمانی شدن تفریقی اولیه لایه‌های غنی از کربنات. فرایند تشکیل لایه‌های کنگلومرایی آهکی- دیاژنزی در نهشته‌های سازند ده- صوفیان شامل ۴ مرحله زیر است: ۱) تغییر شکل اولیه لایه‌های آهکی از راه گسترش شکاف‌ها و ترک‌های نازک در سنگ؛ ۲) تخریب- فرسایش تدفینی گل‌های آهکی سیمانی شده تحت تأثیر خروج آب‌های درون حفره‌ای؛ ۳) تحرك و جابه‌جایی بیشتر قطعات گسیخته شده گل آهکی تحت تأثیر افزایش فشار ناشی از حرکت آب‌های سیال درون حفره‌ای؛ ۴) گردش‌گری قطعات گسیخته شده ناشی از تداوم حرکت و سیالیت.

رس با کربنات کم از موارد لازم و اصلی برای تشکیل کنگلومراهای دیاژنزی است. با این وجود شرایط پالٹواکولوژیکی محیط دیرینه نیز می‌تواند بر تشکیل این نوع تناوب لایه‌های غنی از کربنات و غنی از رس با کربنات کم تأثیر گذار باشد. به طور چیزه تشکیل چنین تناوبی در سنگ‌های آهکی نواری توالي‌های کامبرو- ارددوویسین دیده می‌شود (Bayet-Goll et al., 2015). مهم‌ترین عامل‌های مرتبط با شرایط پالٹواکولوژیکی وجود شرایط زیستی نامناسب برای موجودات گل‌خوار گریزینگ (Grazing) از دید نرخ رسوب‌گذاری، میزان اکسیژن، انرژی هیدرودینامیکی و شوری حوضه است. کاهش فعالیت موجودات گل‌خوار گریزینگ موجب کاهش آشفتگی زیستی بسترها رسوبی می‌شود (Bayet-Goll et al., 2015). وجود بسترها رسوبی با آشفتگی زیستی کم شرایط مناسبی را در توالي‌های سنگ‌آهک‌های نواری کامبرین و ارددوویسین برای تشکیل کنگلومراهای دیاژنزی ایجاد می‌کند. از مهم‌ترین ویژگی‌های نهشته‌های دارای کنگلومراهای آهکی در سازند ده- صوفیان فراوانی لایه‌های متناوب شیلی- کربناته همراه یا به طور کلی سنگ‌های نواری با میزان آشفتگی زیستی کم است. به طور معمول در توالي‌های رسوبی کامبرین و ارددوویسین زیرین وجود سنگ‌های آهکی نواری با سطح آشفتگی زیستی کم نشان از نرخ بالای رسوب‌گذاری با شرایط محیطی ناپایدار (آنکسیک تا دی‌اکسیک) دارد (Sepkoski et al., 1991; Wignall & Twitchett, 1999). وجود سنگ‌های آهکی نواری با آشفتگی زیستی کم، با فراوانی بالای کنگلومرایی آهکی در سازند ده- صوفیان همانند توالي‌های کامبرو- ارددوویسین گندوانا باختり کره و چین است. بر پایه مطالعات Kown et al. (2002) روی توالي‌های کامبرو- ارددوویسین گندوانا باختり، سطح کم آشفتگی زیستی در نتیجه گسترش فرایندهای تشکیل دهنده کنگلومراهای دیاژنسی تحت تأثیر سیمانی شدن تفریقی اولیه صورت می‌گیرد؛ تشکیل چنین شرایطی موجب محدودیت رشد باکتری‌های هوایی و تولید بی‌کربنات در زمان تجزیه مواد آلی می‌شود. در توالي‌های سنگ‌آهک‌های نواری سازند ده- صوفیان وجود سطح کم آشفتگی زیستی و نبود فراوانی بالای جانداران گل‌خوار و گریزینگ تغذیه کننده از بستر رسوبی (Bayet-Goll et al., 2014) موجب ایجاد شرایط ایده‌آل برای گسترش سیمانی شدن تفریقی اولیه و تشکیل کنگلومراهای دیاژنسی شده است.

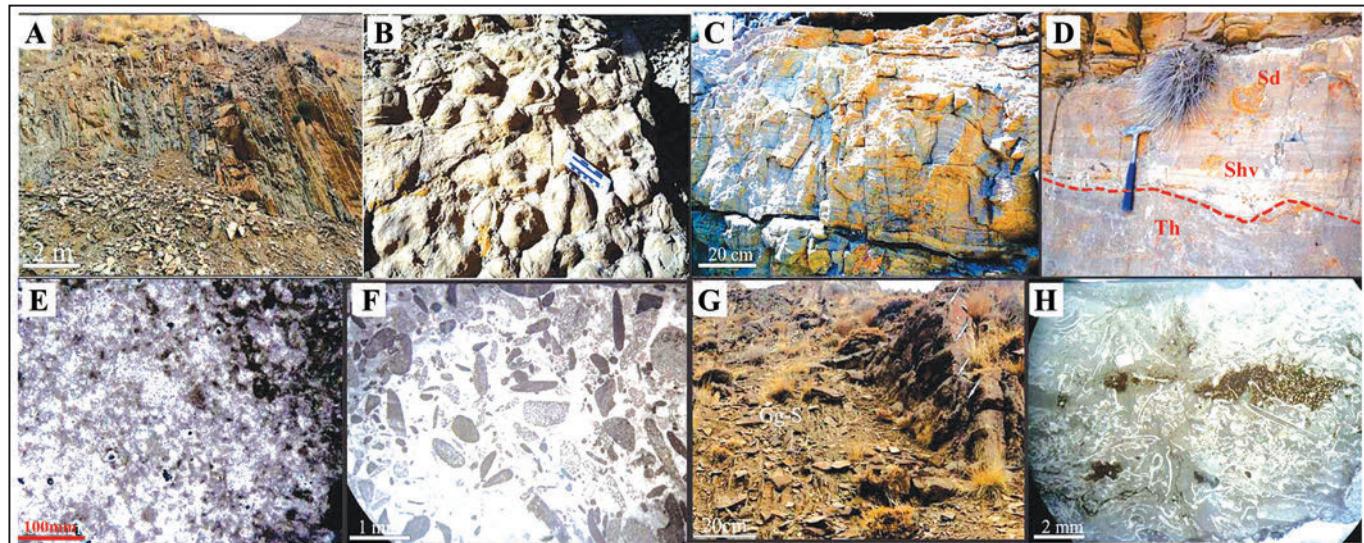


شکل ۲ - تصاویر صحرایی برگرفته شده از نهشته‌های سازند ده-صوفیان از گروه میلا در البرز مرکزی. (A) تصویر صحرایی سازند ده-صوفیان شامل واحدهای ۱ و ۲ و سازند ده-ملا در برش شهمیرزاد. واحد دو سازند ده-صوفیان به واحدهای استروماتولیتی پایینی و کربنات نواری تقسیم شده است. (B) تصویر نزدیکتر از بخش کربنات‌های نواری بخش بالایی سازند ده-صوفیان در برش شهمیرزاد.



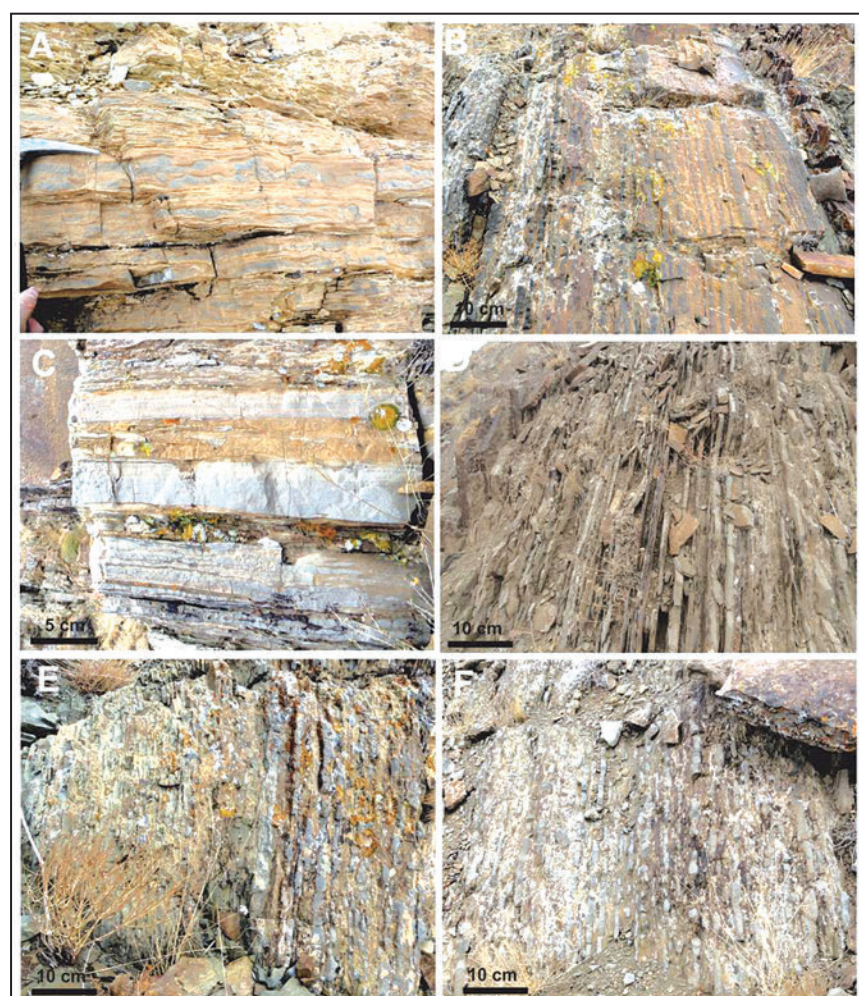


شکل ۳- ستون تغییرات محیط رسوی و چینه نگاری سکانسی سازندهای فشم و ده- صوفیان همراه با تغییرات مدل رسوی آنها در طول گسترش توالی های رسوی. بخش مورد مطالعه این مقاله منطبق بر توالی های ۵ و ۶ بخش بالای سازند ده- صوفیان است (برگرفته از Bayet-Goll et al. (2014 & 2015); Bayet-Goll و همکاران (۱۳۹۴) با تغییرات).

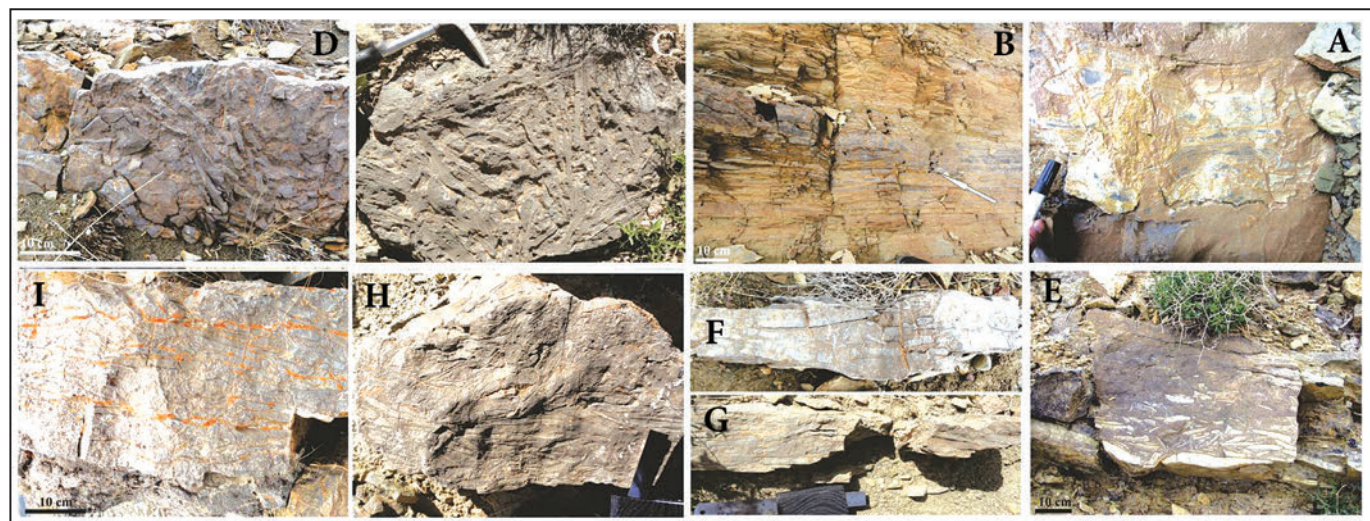
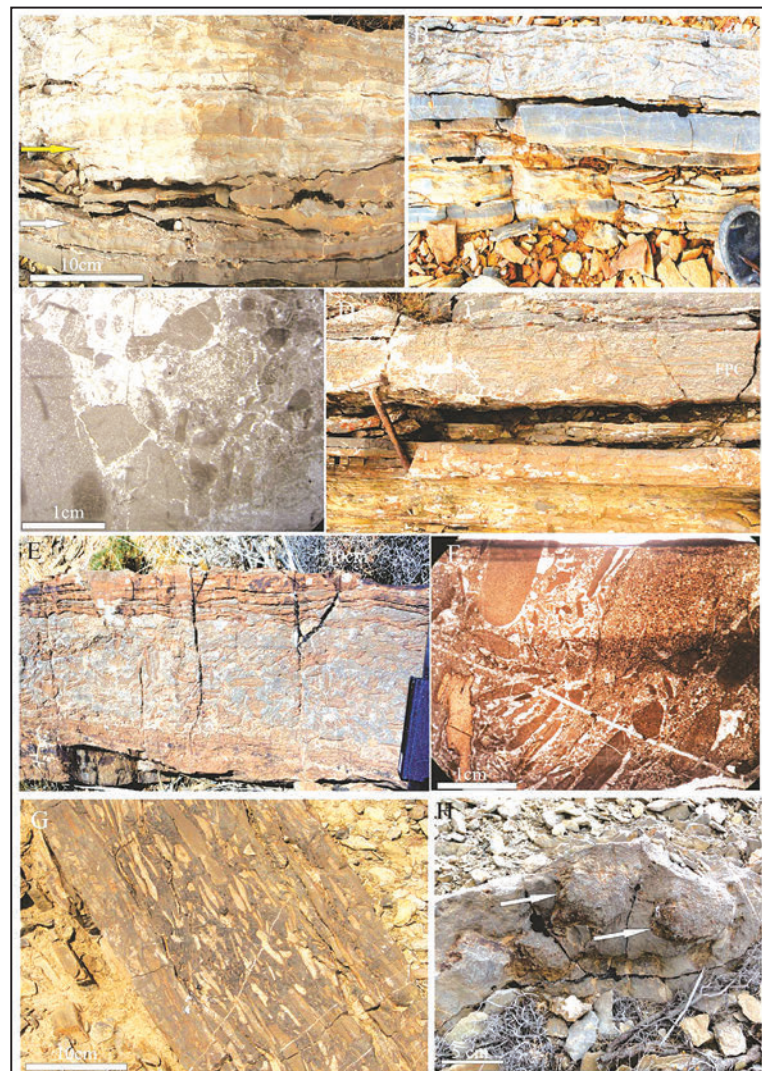


شکل ۴- (A) تصاویر صحراوی از رخساره شیل‌های آهکی در بخش پایینی واحد ۲ سازند ده- صوفیان برش تویه دروار؛ (B) استروماتولیت‌های گندی رخساره‌های فروکشنده کم‌زرفا در بخش پایینی واحد ۲ به صورت نیمه‌کره‌های جانبی متصل به هم در برش شهمیرزاد؛ (C) استروماتولیت‌های گندی بزرگ در رخساره‌های میان‌کشنده پایینی در بخش پایینی واحد ۲، برش ده- ملا؛ (D) توالی از تبدیل تربوموبولیت‌های مناطق فروکشنده به استروماتولیت‌های مسطح و گندی نواحی کم‌زرفای فروکشنده و میان‌کشنده با روند کم‌زرفافشونده به سوی بالا در بخش پایینی واحد ۲، برش شهمیرزاد (Bayet-Goll et al., 2014)؛ (E) رخساره مادستون با آشفتگی زیستی در رخساره میان‌کشنده بالایی در بخش پایینی واحد ۲، برش میلاکوه؛ (F) پلوئیدال-اینترکلست گرینستون در رخساره‌های پرانرژی کشنده واحد آهک نواری، برش تویه دروار؛ (G) تصاویر صحراوی از رخساره فلوتسنون- روتسنون بیوکلاستی به صورت سدهای محلی (Bayet-Goll et al., 2014) همراه با گاترکاست‌ها (پیکان‌ها) و زوج لامینه گرینستون- شیل در واحد آهک نواری، برش شهمیرزاد؛ (H) تصویر میکروسکوپی از رخساره فلوتسنون- روتسنون بیوکلاستی به صورت سدهای محلی واحد آهک نواری، برش تویه دروار (Bayet-Goll et al., 2015).

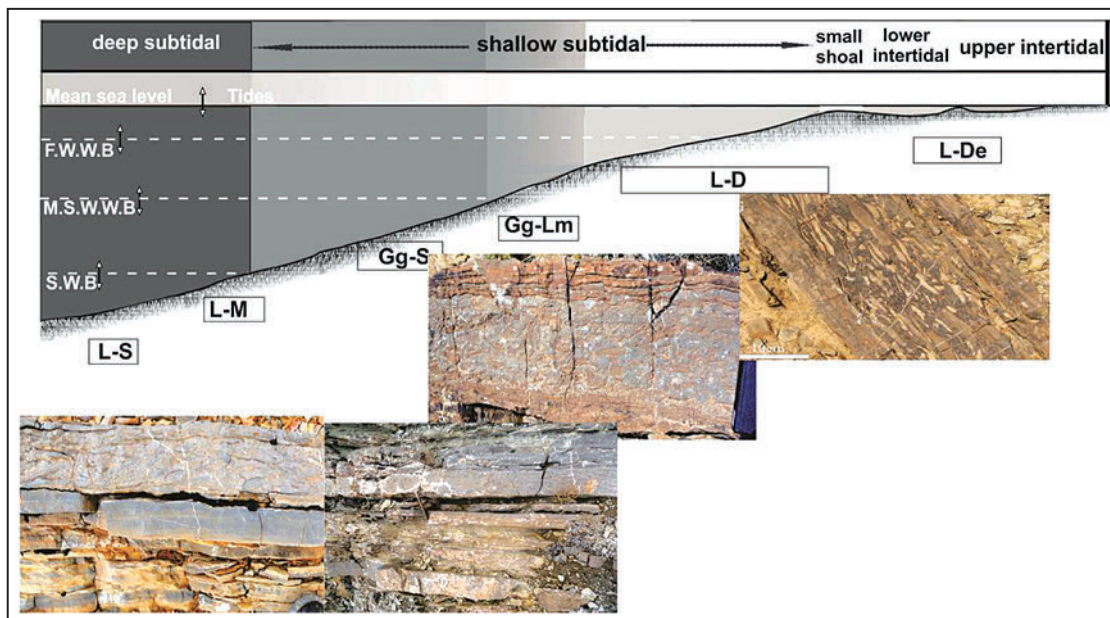
شکل ۵- تصاویر صحراوی از زوج لامینه‌های مختلف کربنات‌های نواری در واحد بالایی سازند ده- صوفیان (Bayet-Goll et al., 2014, 2015)؛ (A) زوج لامینه سنگ‌آهک- دولوستون با ساختارهای خروج از آب (L-De) در رخساره‌های میان‌کشنده بالایی، برش ده- ملا؛ (B) زوج لامینه سنگ‌آهک- دولوستون (L-D) در رخساره‌های فروکشنده کم‌زرفا، برش شهمیرزاد؛ (C) زوج لامینه گرینستون- سنگ‌آهک (Gg-Lm) در رخساره فروکشنده کم‌زرفای زیر موجسار هوای آرام، برش شهمیرزاد؛ (D) زوج لامینه گرینستون- شیل (Gg-S) در رخساره فروکشنده ژرف در نزدیکی و بالای موجسار هوای توفانی، برش میلاکوه؛ (E) زوج لامینه سنگ‌آهک- مارن (L-M) در رخساره فروکشنده ژرف زیر موجسار هوای توفانی، برش تویه دروار؛ (F) زوج لامینه سنگ‌آهک- شیل (L-S) در رخساره فروکشنده ژرف زیر موجسار هوای توفانی، برش شهمیرزاد.



شکل ۶- چینه‌های کنگلومرایی حاصل از فرایندهای رسوبی.
 A) نوع اول با ژئومتری تابولار همراه با کنگلومرای نازک‌کلا耶 با قطعات پلی‌مکتیک نامنظم در بخش قاعده‌ای (پیکان سفید) با چینه‌بندی مورب هموکری که به سوی بالا به کنگلومرای الیگومکتیک با قطعات موازی با سطح لایه (پیکان زرد) تبدیل می‌شود؛ B) نوع اول با ژئومتری تابولار همراه با زوج لایه‌های متناوب شیلی/مارلی-گرینستونی در بخش پایینی که به سوی بالا با سطح قاعده فرسایشی تند تبدیل به کنگلومرای قطعه چیره پلی‌مکتیک با جهت ایمپریکاسیون قطعات می‌شود؛ C) تصویر میکرو‌سکوبی کنگلومرای نوع اول به صورت پلی‌مکتیک در زمینه‌ای از قطعات تریولیت‌ها، برآکریوپودهای اکینودرم‌ها، اسفنجهای و تاحد کمتری با دانه‌های از کوارتز؛ D) سطح قاعده‌ای چینه‌های کنگلومرای نوع اول مسطح فرسایشی و به صورت نامنظم با آثار گروکست؛ E) چینه‌های کنگلومرای نوع دوم دارای ژئومتری تابولار و قاعده فرسایشی تند، قطعات تشکیل‌دهنده فلات پلی‌ها دارای جورشدگی و گردش‌گی کمتری نسبت به افق‌های کنگلومرای نوع اول با جهت یافته‌گی متغیر قطعات پلی نسبت به لایه رسوبی سنگ میزان و همراهی با چینه‌بندی مورب هموکری هستند؛ F) تصویر میکرو‌سکوبی کنگلومرای نوع دوم به صورت پلی‌مکتیک؛ G) چینه‌های کنگلومرای نوع سوم به صورت واحدی‌های برهم افزاینده (amalgamated) با مرز مشخص با جهت یافته‌گی نیمه‌موازی تا موازی نسبت به لایه رسوبی سنگ میزان؛ H) Pot structures در قاعده چینه‌های کنگلومرای نوع سوم به طور چیره از گرینستون/رودستون بایوکلاستیک.

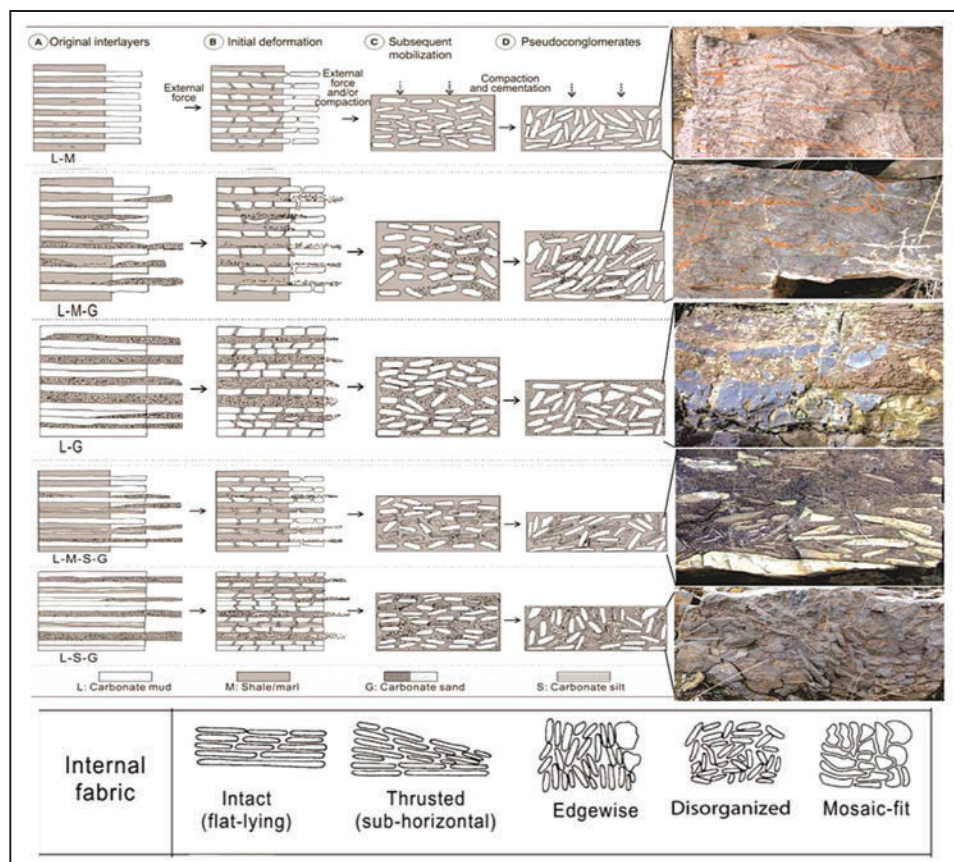


شکل ۷- چینه‌های کنگلومرایی دروغین حاصل از فرایندهای دیاژنزی. A) نوع چهارم، الیگومکتیک به صورت فابریک موزاییکی در میان سنگ آهک‌های نواری؛ B) نوع چهارم با مرز تدریجی در نوع فابریک از موزاییکی تا نامنظم به صورت لنزی در میان کربنات‌های نواری؛ C) چینه‌های کنگلومرای دیاژنزی نوع پنجم، از قطعات الیگومکتیک تشکیل فابریک جنبی (edgewise)؛ D) نوع پنجم از قطعات الیگومکتیک با قطعات نامنظم و با شکل زاویه‌دار تا نیمه‌زاویه‌دار کشیده و تشکیل فابریک نامنظم؛ E) نوع پنجم که به علت فرورفتگی (downdruding) و برآمدگی (uptruding) قطعات دارای مرز ریخت‌شناختی نامنظم و متغیر است؛ F و G) نوع ششم، قطعات آهکی الیگومکتیک، شکل کشیده تابولار تا میله‌ای، معمولاً شکل موازی تا نیمه‌موازی با سطح چینه‌بندی (فابریک مسطح)؛ H) نوع ششم، قطعات الیگومکتیک با فابریک راندگی؛ I) وجود تغییرات بافتی از مسطح به جهت دار و راندگی در چینه‌های کنگلومرای دیاژنزی نوع ششم با قطعات الیگومکتیک.



شکل ۸- مدل روند رسوبی کنگلومراهای حاصل از فرایندهای رسوبی. چینه‌های کنگلومرایی آهکی نوع اول به طور چیره در محیط‌های فروکشندی همراه با L-S، Gg-S یا L-M هستند. چینه‌بندی مورب هموکی با استبرای بالا، وجود گاتر کست در لایه‌های گرینستونی با جور شدگی خوب و نبود لایه‌های شیلی-مارلی همراه با شواهدی از واحدهای برهم‌افزاینده (amalgamated) همراه با L-D یا L-M نشان از تشکیل کنگلومرای نوع دوم و سوم در میان موجساز هوای توفانی و آرام دارد.

شکل ۹- چگونگی شکل‌گیری کنگلومراهای حاصل از فرایندهای دیاژنزی و فایبریک داخلی ساختارهای کنگلومرای دیاژنزی در اثر تغییر شکل زوچ لایه‌های آهک نواری در انتظای نمونه‌های مطالعه شده در نهشته‌های سازند ده- صوفیان (برگرفته از Chen et al. (2009) با تغییرات؛ (A) مرحله تشکیل لایه‌های آهکی نواری. سیمانی شدن تفرقی اولیه با تغییرات در میزان کربنات و رس؛ (B) تغییر شکل اولیه لایه‌های آهکی از راه گسترش شکاف‌ها و ترک‌های نازک؛ (C) مرحله جابه‌جایی قطعات، با افزایش پیشرونده تدفین؛ (D) مرحله تشکیل کنگلومراهای حاصل از فرایندهای دیاژنزی نهشته‌های واحد ۲ سازند ده- صوفیان. قطعات آهکی الیگومکتیک (گل‌آهکی) کمتر پلی‌مکتیک، گسترش و فراوانی فایبریک‌های جنسی، نامنظم و موzaیکی، وجود مرز تدریجی میان فایبریک و لایه‌های مجاور با چینه‌های کنگلومرای؛ L: سنگ‌آهک، M: مارلستون، G: گرینستون، S: شیل.



كتابنگاري

- آفتاباتی، ع.، ۱۳۸۳- زمین‌شناسی ایران، سازمان زمین‌شناسی و اکتشافات معدنی کشور، ۵۸۶ ص.
- بایت‌گل، آ.، ۱۳۹۳- ایکنولوژی و چینه‌نگاری سکانسی سازند میلا (البرز مرکزی)، مقایسه آن با سازند شیرگشت (طبیعی)، پایان‌نامه دکتری دانشگاه فردوسی مشهد، ۵۰۱ ص.
- بایت‌گل، آ.، محبوبی، ا. و موسوی حرمه، ر.، ۱۳۹۴- کاربرد پوشش‌های میکروبی در تغییر محیط رسوبی و نوسانات سطح آب دریا: مطالعه‌ای از نهشته‌های کربناته عضو ۱ و ۲ از گروه میلا (سازند ده صوفیان) در البرز مرکزی، پژوهش‌های چینه‌نگاری و رسوب‌شناسی، ۵۸، ۳۵-۵۶.
- لامسی، ی.، ۱۳۷۹- تشکیل پروتوبالتوتیس و حاشیه‌واگرای اواخر پرکامبرین بالایی تا اردوویسین در گندوانا، خلاصه مقالات هیجدهمین گردهمایی علوم زمین، صص. ۸۸-۹۲.

References

- Bayet-Goll, A., Chen, J., Moussavi-Harami, R. & Mahboubi, A., 2015- Depositional processes of ribbon carbonates in middle Cambrian of Iran (Deh-Sufiyan Formation, Central Alborz). *Facies*, 61.
- Bayet-Goll, A., Geyer, G., Wilmsen, M., Mahboubi, A. & Moussavi-Harami, R., 2014- Facies architecture, depositional environments and stratigraphy of the Middle Cambrian Fasham and Deh-Sufiyan formations in the central Alborz, Iran. *Facies*, 60: 815-841.
- Chen, J., Chough, S. K., Chun, S. S. & Han, Z., 2009- Limestone pseudoconglomerates in the Late Cambrian Gushan and Chaomidian Formations (Shandong Province, China): soft-sediment deformation induced by storm-wave loading. *Sedimentology* 56, 1174-1195.
- Chen, J., Chough, S. K., Han, Z. & Lee, J. H., 2011- An extensive erosion surface of a strongly deformed limestone bed in the Gushan and Chaomidian formations (late Middle Cambrian to Furongian), Shandong Province, China: sequence-stratigraphic implications. *Sedimentary Geology*, 233: 129-149.
- Choi, Y. S., Kim, J. C. & Lee, Y. I., 1993- Subtidal flat pebble conglomerates from the Early Ordovician Mungok Formation, Korea: origin and depositional process. *J. Geol. Soc. Korea*, 29: 15-29.
- Chough, S. K., Kwon, Y. K., Choi, D. K. & Lee, D. J., 2001- Autoconglomeration of limestone. *Geosci. J.*, 5: 159-164.
- Demicco, R. V. & Hardie, L. A., 1994- Sedimentary Structures and Early Diagenetic Features of Shallow Marine Carbonate Deposits. SEPM Atlas Series 1., Tulsa, 265 p.
- Embry, A. F. & Klovan, J. E., 1971- A Late Devonian reef tract on Northeastern Banks Island NWT: Can Petroleum Geolgy Bull. 19:730-781.[revision of Dunham classification].
- Geyer, G., Bayet-Goll, A., Wilmsen, M., Mahboubi, A. & Moussavi-Harami, R., 2014- Lithostratigraphic revision of the middle and upper Cambrian (Furongian) in northern and central Iran. *Newsletters on Stratigraphy*, 47, 21-59.
- Kreisa, R. D. & Bambach, R. K., 1982- The role of storm processes in generating shell beds on Paleozoic shelf environments. In: Cyclic and Event Stratification (Eds G. Einsele and A. Seilacher), 200-207 pp. Springer, Berlin.
- Kullberg, J. C., Oloriz, F., Marques, B., Caetano, P. S. & Rocha, R. B., 2001- Flat-pebble conglomerates: a local maker for Early Jurassic seismicity related to syn-rift tectonics in the Sesimbra area (Lusitanian Basin, Portugal). *Sed. Geol.*, 139: 49-70.
- Kushan, B., 1978- Stratigraphy and trilobite fauna of the Mila Formation (Middle Cambrian-Tremadocian) of the Alborz Range, North Iran. Geological Survey of Iran, Report 49: 70 pp.
- Kwon, Y. K., Chough, S. K., Choi, D. K. & Lee, D. J., 2002- Origin of limestone conglomerates in the Choson Super-group (Cambro-Ordovician), mid-east Korea. *Sed. Geol.*, 146: 265-283.
- Lee, Y. I. & Kim, J. C., 1992- Storm-influenced siliciclastic and carbonate ramp deposits, the Lower Ordovician Dumugol Formation, South Korea. *Sedimentology*, 39: 951-969.
- Markello, J. R. & Read, J. F., 1981- Carbonate ramp-to-deeper shale shelf transitions of an Upper Cambrian intrashelf basin, Nolichucky Formation, Southwest Virginia Appalachians. *Sedimentology*, 28: 573-597.
- Molenaar, N. & Zijlstra, J. J. P., 1997- Differential early diagenetic low-Mg calcite cementation and rhythmic hardground development in Campanian-Maastrichtian chalk. *Sed. Geol.*, 109: 261-281.
- Mount, J. F. & Kidder, D., 1993- Combined flow origin of edgewise intraclast conglomerates: Sellick Hill Formation (Lower Cambrian), South Australia. *Sedimentology*, 40, 315-329.
- Myrow, P. M., Tice, L., Archuleta, B., Clark, B., Taylor, J. F. & Ripperdan, R. L., 2004- Flat-pebble conglomerate: its multiple origins and relationship to meter-scale depositional cycles. *Sedimentology*, 51: 973-996.
- Peng, S., Geyer, G. & Hamdi, B., 1999- Trilobites from the Shahmirzad section, Alborz Mountains, Iran: Their taxonomy, biostratigraphy and bearing for international correlation. *Beringeria* 25: 3-66.
- Ricken, W. & Eder, W., 1991- Diagenetic modification of calcareous beds – an overview. In: Cyclic and Event in Stratigraphy (Eds G. Einsele, W. Ricken and A. Seilacher), 430-449 pp. Springer, Berlin.
- Sepkoski, J. J. Jr, Bambach, R.K. & Droser, M. L., 1991- Secular changes in Phanerozoic event bedding and the biological overprint. In: Cycles and Events in Stratigraphy (Eds G. Einsele, W. Richen and A. Seilacher), 298-312 pp. Springer, Berlin.
- Stocklin, J., Ruttner, A. & Nabavi, M., 1964- New Data on the lower Paleozoic, North Iran. Geological Survey of Iran, Report1.
- Wignall, P. B. & Twitchett, R. J., 1999- Unusual intraclastic limestones in Lower Triassic carbonates and their bearing on the aftermath of the end-Permian mass extinction. *Sedimentology*, 46: 303-316.

Origin of limestone conglomerates in the Unit 2 of Deh-Sufiyan Formation, Mila Group, Central Alborz, Northern Iran

A. Bayet-Goll ^{1*}, R. Moussavi Harami ² & A. Mahboubi ²

¹ Ph.D., Department of Earth Science, Institut for Advenced Studies in Basic Science, Zanjan, Iran

² Professor, Department of Geology, Faculty of Science, Ferdowsi University of Mashhad, Mashhad, Iran

Received: 2015 July 14

Accepted: 2015 December 08

Abstract

Carbonate deposits of members 1 to 2 of the Mila Group (Middle Cambrian) in Central Alborz that call the Deh-Sufiyan Formation in this research, were studied in Shahmirzad, Tueh-Darvar, Mila-Kuh and Deh-Molla sections. The Unit 2 of Deh-Sufiyan Formation in Central Alborz of Northern Iran consists mainly of shallow marine carbonates and contains a variety of limestone conglomerates. Limestone conglomerate is an important component of Unit 2 of Deh-Sufiyan Formation, but its origins remain enigmatic. These limestone conglomerates have a diverse set of characteristics that range from clast to matrix supported with scattered flat pebbles. These conglomerates are largely comprised of oligomictic, rounded lime–mudstone clasts of various sizes and shape (equant, oval, discoidal, tabular, and irregular). According to composition and characteristic sedimentary structures and fabric, limestone conglomerates in the Unit 2 of Deh-Sufiyan Formation consist of: (1) Intraformational limestone conglomerate beds were formed by depositional processes (2) Limestone pseudoconglomerate beds were produced by diagenetic processes. The common characteristics of the Unit 2 of Deh-Sufiyan Formation pseudoconglomerates, such as oligomictic lithology of lime–mudstone clasts, mosaic fabric, disorganized/edgewise fabric, variable and gradational fabric, transitions from adjacent or underlying facies and the complete lack of depositional structures, are typical of pseudoconglomerates formed by early diagenetic sediment deformation under shallow burial conditions. These characteristics are different from those of intraformational limestone conglomerate showing primary depositional features such as normal or inverse grading, internal stratification, (hummocky) cross-stratification and sharp erosional bases. Diagenetic conglomerates in ribbon rocks were resulted from soft-sediment deformation of ribbon rocks during early diagenesis. In contrast, the dimension and thickness, sizes of the clasts, clast-rich beds, size ingredient of matrix, tendency to amalgamate with amalgamation scours within depositional conglomerates suggest that high energy and strong erosion above storm wave base was responsible for the disintegration of the carbonate material.

Keywords: Deh-Sufiyan Formation, Conglomerates, Pseudoconglomerate, Depositional, Diagenetic, Origin.

For Persian Version see pages 79 to 90

*Corresponding author: A. Bayet-Goll; E-mail: aram1361@gmail.com